

УДК 532.526

К ВОПРОСУ ОБ УСТОЙЧИВОСТИ ВЯЗКОУПРУГОЙ ПЛАСТИНЫ В ПОТОКЕ ЖИДКОСТИ

И. В. Денисова, Д. А. Индейцев, А. В. Клименко

Институт проблем машиноведения РАН, 199178 Санкт-Петербург
E-mails: ira@wave.ipme.ru, ind@director.ipme.ru, andy@snark.ipme.ru

Исследуется устойчивость бесконечной вязкоупругой пластины, покоящейся на упругом основании, под потоком вязкой несжимаемой жидкости. Система Навье — Стокса линеаризуется на векторе скорости с экспоненциальным профилем. С помощью преобразования Фурье — Лапласа задача сводится к системе обыкновенных дифференциальных уравнений, решение которой найдено в виде сходящихся рядов. Корни дисперсионного соотношения, характеризующие устойчивость системы, находятся численно. Исследуется влияние параметров вязкости жидкости и пластины на устойчивость волн, распространяющихся в направлении потока и навстречу ему. Проводится сравнение полученных результатов с исследованиями по устойчивости вязкоупругой пластины в потоке идеальной жидкости.

Ключевые слова: вязкоупругая пластина, вязкая жидкость, экспоненциальный профиль, устойчивость волн.

Введение. Проблема взаимодействия потока вязкой жидкости с изменяющейся во времени поверхностью упругодеформируемого твердого тела актуальна как с практической, так и с теоретической точки зрения. Несмотря на большое количество работ, посвященных этой проблеме, многие вопросы, связанные с устойчивостью рассматриваемой механической системы, остаются недостаточно изученными. Экспериментальная проверка теоретических результатов, свидетельствующих о возникновении интенсивной вибрации элементов конструкции, обтекаемых потоком вязкой сплошной среды (газа, жидкости), крайне затруднительна. В каждом отдельном случае строится специальная математическая модель, а вид потери устойчивости существенно зависит от выбора физической модели (см., например, [1–5]). В данной работе подробно исследуется влияние внутреннего трения (конструкционного демпфирования) и внешнего трения (вязкости жидкости) на устойчивость вязкоупругой пластины, покоящейся на упругом основании. В общем случае для выбранной физической модели характерны два типа потери устойчивости: дивергенция и панельный флаттер. Эти явления хорошо изучены в случае обтекания пластины потоком идеальной несжимаемой жидкости с постоянным как во времени, так и по координатам профилем скорости. В настоящей работе описание этих явлений уточняется путем детального рассмотрения волн, распространяющихся как по потоку, так и против него. Введение внешнего (или внутреннего) трения приводит в рассматриваемой неконсервативной задаче к весьма неоднозначным результатам (см., например, [6]). Как показали наши исследования, эти два вида трения по-разному влияют на устойчивость волн, распространяющихся в противоположных направлениях.

При рассмотрении модели вязкой жидкости в качестве основного профиля скорости был выбран экспоненциальный. Как известно, такой профиль может быть асимптотически реализован путем отсасывания жидкости из пограничного слоя при обтекании неподвижной поверхности [7]. Теоретические и экспериментальные исследования показывают,

что экспоненциальный профиль устойчив. В то же время реальные профили могут быть хорошо аппроксимированы линейной комбинацией экспоненциальных профилей с соответствующими параметрами.

В данной работе предлагается метод, удобный для численного решения задачи в случае обтекания экспоненциальным профилем вибрирующей поверхности пластины. Показано, что параметры упругого тела существенно влияют на устойчивость системы. Кроме того, явное решение уравнения для идеальной жидкости и сравнение его с результатами, полученными численно для вязкой жидкости, позволяют сделать вывод о принципиальном различии поведения распространяющихся волн (по потоку и против него) при обтекании пластины вязкой и идеальной жидкостями.

1. Постановка задачи. Будем считать, что поток зависит только от вертикальной координаты, поэтому задачу можно рассматривать как задачу о двумерном течении над бесконечной вибрирующей балкой (балкой Бернулли — Эйлера), покоящейся на упругом основании.

В общем случае задача об обтекании гибкой балки набегающим потоком \mathbf{u}^* в полуплоскости формулируется следующим образом. Найти форму балки $\Gamma(w(y))$, а также поле скоростей $\mathbf{V} = (V_1, V_2)$ и функцию давления p жидкости, удовлетворяющие уравнениям Навье — Стокса

$$\begin{aligned} \dot{\mathbf{V}} + (\mathbf{V} \cdot \nabla) \mathbf{V} - \nu \Delta \mathbf{V} + \rho^{-1} \nabla p &= 0, \\ \nabla \cdot \mathbf{V} &= 0 \quad \text{в } \Omega = \{(x, y): y > w\}, \end{aligned} \quad (1.1)$$

а также начальным и краевым условиям

$$\mathbf{V}|_{\Gamma} = \mathbf{v}_b, \quad \lim_{y \rightarrow +\infty} \mathbf{V} = \mathbf{u}_0, \quad \mathbf{V}|_{t=0} = \mathbf{V}_0. \quad (1.2)$$

В (1.1), (1.2) $\nabla = (\partial/\partial x, \partial/\partial y)$; $\Delta = \nabla \cdot \nabla$; положительные постоянные ν , ρ — кинематическая вязкость жидкости и ее плотность соответственно; \mathbf{v}_b — скорость балки; $\mathbf{u}_0 = (u_0, 0)$ — предельная скорость потока на бесконечности; \mathbf{V}_0 — начальное поле скоростей; точка над символом обозначает производную по времени; w — отклонение балки от нулевого положения $y = 0$ (предполагается, что балка может иметь только вертикальное отклонение).

Кроме того, будем считать, что отклонение w удовлетворяет известному уравнению вида

$$m\ddot{w} + D(w'''' + \varkappa w''''') + Kw = \mathbf{e}_y \cdot T \mathbf{n}, \quad t > 0, \quad (1.3)$$

где штрих обозначает производную по горизонтальной координате x ; m , D — погонная масса балки и ее изгибная жесткость; K — коэффициент жесткости упругого основания; \varkappa — коэффициент, характеризующий внутреннее трение балки; \mathbf{n} — внешняя относительно области Ω нормаль к Γ ; \mathbf{e}_y — единичный вектор по оси y ; T — тензор напряжений с компонентами

$$T_{ik}(\mathbf{V}, p) = -p\delta_i^k + \mu \left(\frac{\partial V_i}{\partial x_k} + \frac{\partial V_k}{\partial x_i} \right), \quad i = 1, 2, \quad k = 1, 2,$$

δ_i^k — символ Кронекера; $x_1 \equiv x$; $x_2 \equiv y$; $\mu = \nu\rho$ — динамическая вязкость жидкости. При $x \rightarrow \infty$ функция w предполагается ограниченной вместе со своими производными.

2. Линеаризация системы (1.1)–(1.3) на потоке с экспоненциальным профилем скорости. Линеаризуем систему (1.1)–(1.3) на векторе $\mathbf{u}^* = (u^*(y), 0)$, где $u^*(y) = -u_0(1 - e^{-\lambda y})$; $\lambda > 0$, и запишем краевую задачу для возмущений (\mathbf{u}, q, w) в полуплоскости \mathbb{R}_+^2 ($y > 0$):

$$\begin{aligned} \dot{\mathbf{u}} - \nu \Delta \mathbf{u} + (\mathbf{u}^* \cdot \nabla) \mathbf{u} + (\mathbf{u} \cdot \nabla) \mathbf{u}^* + \rho^{-1} \nabla q &= 0, \\ \nabla \cdot \mathbf{u} &= 0 \quad \text{в } \mathbb{R}_+^2 \times (0, \infty); \end{aligned} \quad (2.1)$$

$$u_1|_{y=0} = 0, \quad u_2|_{y=0} = \dot{w}, \quad \lim_{\substack{y \rightarrow +\infty \\ |x| \rightarrow \infty}} \mathbf{u} = 0; \quad (2.2)$$

$$m\ddot{w} + D(w'''' + \varkappa \dot{w}''''') + Kw - \mu u_0 \lambda w' = -q|_{y=0}, \quad \lim_{|x| \rightarrow \infty} w = 0. \quad (2.3)$$

Пусть $\mathbf{u}_0 = (-u_0, 0)$ — постоянный вектор, $u_0 \geq 0$. Перепишем (2.1) следующим образом:

$$\begin{aligned} \dot{\mathbf{u}} - \nu \Delta \mathbf{u} + (\mathbf{u}_0 \cdot \nabla) \mathbf{u} + \rho^{-1} \nabla q &= ((\mathbf{u}_0 - \mathbf{u}^*) \cdot \nabla) \mathbf{u} - (\mathbf{u} \cdot \nabla) \mathbf{u}^*, \\ \nabla \cdot \mathbf{u} &= 0 \quad \text{в } \mathbb{R}_+^2 \times (0, \infty). \end{aligned} \quad (2.4)$$

Предположим, что задача (2.4), (2.2), (2.3) допускает решение (\mathbf{u}, q, w) с экспоненциальной зависимостью от времени $\mathbf{u}(x, y, t) = \hat{\mathbf{u}}(x, y, s) e^{st}$, $q(x, y, t) = \hat{q}(x, y, s) e^{st}$, $w(x, t) = \hat{w}(x, s) e^{st}$. Для того чтобы определить, при каких s возможен такой режим, подставим это решение в (2.4), (2.2), (2.3) и выполним преобразование Фурье относительно переменной x по формуле

$$\tilde{f}(\xi) = \int_{-\infty}^{+\infty} f(x) e^{-i\xi x} dx. \quad (2.5)$$

После такого преобразования получим краевую задачу для системы обыкновенных дифференциальных уравнений (по переменной y) для образов поля скоростей $\tilde{\mathbf{u}}(\xi, y, s)$, давления $\tilde{q}(\xi, y, s)$ и смещения стержня $\tilde{w}(\xi, s)$

$$\begin{aligned} \frac{d^2 \tilde{u}_1}{dy^2} - r_1^2 \tilde{u}_1 - \frac{i\xi \tilde{q}}{\mu} &= \frac{i\xi u_0}{\nu} e^{-\lambda y} \tilde{u}_1 - \frac{u_0 \lambda}{\nu} e^{-\lambda y} \tilde{u}_2, \\ \frac{d^2 \tilde{u}_2}{dy^2} - r_1^2 \tilde{u}_2 - \frac{1}{\mu} \frac{d\tilde{q}}{dy} &= \frac{i\xi u_0}{\nu} e^{-\lambda y} \tilde{u}_2, \\ i\xi \tilde{u}_1 + \frac{d\tilde{u}_2}{dy} &= 0; \end{aligned} \quad (2.6)$$

$$\tilde{u}_1(\xi, 0, s) = 0, \quad \tilde{u}_2(\xi, 0, s) = s\tilde{w}, \quad \lim_{y \rightarrow +\infty} \tilde{\mathbf{u}} = 0; \quad (2.7)$$

$$(ms^2 + (1 + \varkappa s)D\xi^4 + K - i\mu u_0 \lambda \xi) \tilde{w} = -\tilde{q}(\xi, 0, s), \quad (2.8)$$

где $r_1 = \sqrt{(s - i\xi u_0)/\nu + \xi^2}$, причем полагается, что $\operatorname{Re} \sqrt{z} \geq 0 \quad \forall z \in \mathbb{C}$.

Как показано в [8], решение (2.6), (2.7) можно найти в виде экспоненциальных рядов

$$\begin{aligned} \tilde{u}_1(\xi, y, s) &= -\frac{B_1(0)s\tilde{w}}{P} e^{-r_1 y} A_1(y) + \frac{A_1(0)s\tilde{w}}{P} e^{-|\xi|y} B_1(y), \\ \tilde{u}_2(\xi, y, s) &= -\frac{B_1(0)s\tilde{w}}{P} e^{-r_1 y} A_2(y) + \frac{A_1(0)s\tilde{w}}{P} e^{-|\xi|y} B_2(y), \\ \tilde{q}(\xi, y, s) &= -\frac{B_1(0)s\tilde{w}}{P} e^{-r_1 y} A_3(y) + \frac{A_1(0)s\tilde{w}}{P} e^{-|\xi|y} (B_3(y) + B_4), \end{aligned} \quad (2.9)$$

где

$$\begin{aligned} P &= A_1(0)B_2(0) - B_1(0)A_2(0), \\ A_1(y) &= \sum_{k=0}^{\infty} e^{-k\lambda y} a_1^{(k)}, \quad A_2(y) = \sum_{k=0}^{\infty} e^{-k\lambda y} a_2^{(k)}, \quad A_3(y) = \sum_{k=0}^{\infty} e^{-k\lambda y} a_3^{(k)}, \end{aligned}$$

$$\begin{aligned}
B_1(y) &= \sum_{k=0}^{\infty} e^{-k\lambda y} b_1^{(k)}, & B_2(y) &= \sum_{k=0}^{\infty} e^{-k\lambda y} b_2^{(k)}, & B_3(y) &= \sum_{k=0}^{\infty} e^{-k\lambda y} b_3^{(k)}, & B_4 &= \frac{\rho(s - i\xi u_0)}{i\xi}; \\
a_1^{(k)} &= \left(\frac{i\xi u_0}{\nu\lambda}\right)^k \frac{r_1 + k\lambda}{k!r_1} R_k, & a_2^{(k)} &= \left(\frac{i\xi u_0}{\nu\lambda}\right)^k \frac{i\xi}{k!r_1} R_k, \\
a_3^{(k)} &= \left(\frac{i\xi u_0}{\nu\lambda}\right)^k \frac{2\lambda^2 \mu i\xi}{(k-1)!r_1((r_1 + k\lambda)^2 - \xi^2)} R_{k-1}, \\
b_1^{(k)} &= \left(\frac{i\xi u_0}{\nu}\right)^k \frac{|\xi| + k\lambda}{k!|\xi|} Q_k, & b_2^{(k)} &= \left(\frac{i\xi u_0}{\nu}\right)^k \frac{i\xi}{k!|\xi|} Q_k, \\
b_3^{(k)} &= \left(\frac{i\xi u_0}{\nu}\right)^k \frac{2\mu i\xi}{k!|\xi|(2|\xi| + k\lambda)} Q_{k-1}; \\
R_k &= \prod_{j=1}^k \frac{(r_1 + j\lambda)(r_1 + (j-2)\lambda) - \xi^2}{(2r_1 + j\lambda)((r_1 + j\lambda)^2 - \xi^2)}, & R_0 &\equiv 1, \\
Q_k &= \prod_{j=1}^k \frac{2(j-1)|\xi| + j(j-2)\lambda}{(2|\xi| + j\lambda)((|\xi| + j\lambda)^2 - r_1^2)}, & Q_0 &\equiv 1.
\end{aligned} \tag{2.10}$$

Поскольку в выражениях для R_k и Q_k степени числителей меньше степеней знаменателей, их модули не превышают $\text{const}/k!$. Значит, модули $|a_i^{(k)}|$, $|b_i^{(k)}|$ в (2.10) ограничены сверху произведением константы и общего члена ряда Тейлора для экспоненциальной функции. Таким образом, можно заключить, что ряды в (2.9) сходятся при всех ξ и u_0 , причем равномерно по y , так как $e^{-k\lambda y} \leq 1$, $y \geq 0$.

Подставив $\tilde{q}(\xi, 0, s)$ в уравнение упругости балки (2.8), получим условие существования нетривиального решения \tilde{w} для системы (2.6)–(2.8):

$$ms^2 + K + (1 + \varkappa s)D\xi^4 - i\mu u_0 \lambda \xi + \frac{-A_3(0)B_1(0) + (B_3(0) + B_4)A_1(0)}{P} s = 0. \tag{2.11}$$

Перемножением рядов приведем определитель P к виду

$$P = \sum_{n=0}^{\infty} \left(\frac{i\xi u_0}{\nu\lambda}\right)^n \frac{i\xi}{r_1|\xi|} \sum_{k=0}^n \frac{\lambda^{n-k}(r_1 - |\xi| + (2k - n)\lambda)}{k!(n-k)!} R_k Q_{n-k}.$$

Домножив уравнение (2.11) на $i\xi P$ и вновь перемножив ряды, получим дисперсионное соотношение

$$\begin{aligned}
&(ms^2 + K + (1 + \varkappa s)D\xi^4 - i\mu u_0 \lambda \xi) i\xi P + \frac{\rho s(s - i\xi u_0) r_1}{|\xi|} + \\
&+ \sum_{n=1}^{\infty} \left(\frac{i\xi u_0}{\nu\lambda}\right)^n \left\{ \frac{\rho s(s - i\xi u_0)(r_1 + n\lambda)}{|\xi| n!} R_n + 2\mu s \sum_{k=0}^{n-1} \frac{\lambda^{n-k}}{k!(n-k-1)!} \times \right. \\
&\times \left. \left(\frac{r_1 + k\lambda}{(n-k)(2|\xi| + (n-k)\lambda)} - \frac{\lambda(|\xi| + (n-k-1)\lambda)}{(r_1 + (k+1)\lambda)^2 - \xi^2} \right) R_k Q_{n-k-1} \right\} = 0. \tag{2.12}
\end{aligned}$$

Корни s_i^* дисперсионного уравнения (2.12) являются показателями экспоненциального временного режима, предположение о существовании которого сделано выше. Устойчивость механической системы жидкость — балка определяется знаками вещественных частей корней s_i^* .

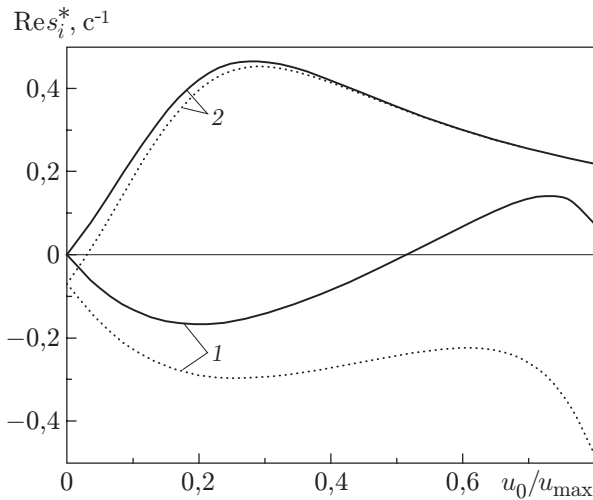


Рис. 1

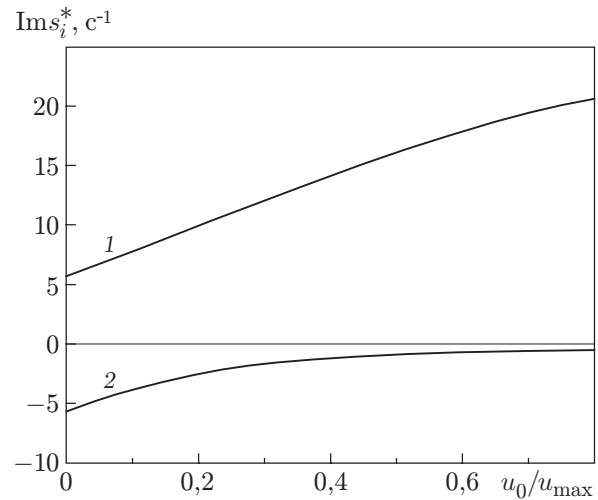


Рис. 2

Рис. 1. Вещественные части корней s_i^* дисперсионного уравнения (2.12) для случая вязкой жидкости:

сплошные линии — $\varkappa = 0$; пунктирные — $\varkappa = 0,01$ с; 1 — волна, движущаяся по потоку; 2 — волна, движущаяся против потока

Рис. 2. Мнимые части корней s_i^* дисперсионного уравнения (2.12) для случая вязкой жидкости (обозначения те же, что на рис. 1)

3. Исследование устойчивости. Численные исследования проводились для конкретной модели с параметрами $m = 80$ кг/м², $D = 15000$ Н·м, $K = 20000$ Н/м³, $\nu = 10^{-6}$ м²/с, $\rho = 1000$ кг/м³, $\lambda = 1000$ м⁻¹, $\xi = 1$ м⁻¹. Был выбран диапазон скорости $u_0 = 0 \div 25$ м/с.

На рис. 1 представлена зависимость вещественных частей корней s_i^* ($i = 1, 2$) дисперсионного уравнения (2.12) от скорости потока u_0 , отнесенной к $u_{\max} = 25$ м/с, при нулевой (сплошная линия) и ненулевой (пунктирная линия) внутренней вязкости балки. На рис. 2 представлены аналогичные зависимости для мнимых частей корней s_i^* . Видно, что при $u_0 = 0$ уравнение (2.12) имеет два комплексно-сопряженных корня с отрицательной вещественной частью, что соответствует наличию в жидкости двух затухающих волн, распространяющихся в противоположных направлениях: по потоку (корень s_1^* с положительной мнимой частью) и против него (корень s_2^* с отрицательной мнимой частью). При $\varkappa = 0$ с увеличением скорости u_0 сначала становится положительной величина $\text{Re } s_2^*$, а затем — величина $\text{Re } s_1^*$, т. е. первой теряет устойчивость волна, движущаяся против потока. При наличии внутренней вязкости потеря устойчивости волны, распространяющейся против потока, происходит при большем значении скорости. Волна, распространяющаяся в направлении потока, остается устойчивой при всех значениях скорости u_0 . На мнимые части корней, или на фазовые скорости волн, внутренняя вязкость практически не влияет (сплошные и пунктирные линии на рис. 2 совпадают).

Таким образом, при наличии вязкости жидкости ν имеет место флаттерная потеря устойчивости системы, причем наличие внутренней вязкости \varkappa приводит к повышению устойчивости обеих волн.

Изучим поведение корней дисперсионного уравнения (2.12) при различных значениях ξ . Поскольку при малых ξ вычисление корней s_i^* затруднительно, рассмотрим асимп-

тотическое приближение соотношения (2.12) при $\xi \rightarrow 0$ с точностью до $O(\xi)$:

$$\Delta(s) \equiv \frac{\rho s^2}{|\xi|} + K + ms^2 + \rho s \nu \sqrt{\frac{s}{\nu}} - \frac{i \rho s u_0 \lambda}{\lambda + \sqrt{s/\nu}} = 0. \quad (3.1)$$

Выясним, когда уравнение $\Delta(s) = 0$ может иметь чисто мнимые корни. Для этого подставим в него $s = \pm i\omega$, где $\omega > 0$, и разделим вещественную и мнимую части последнего выражения:

$$\begin{aligned} \operatorname{Re} \Delta(\pm i\omega) &\equiv -\frac{\rho\omega^2}{|\xi|} + K - m\omega^2 - \rho\omega\nu\sqrt{\frac{\omega}{2\nu}} \pm \frac{\rho\omega u_0 \lambda(\lambda + \sqrt{\omega/(2\nu)})}{\lambda^2 + \lambda\sqrt{2\omega/\nu} + \omega/\nu} = 0, \\ \operatorname{Im} \Delta(\pm i\omega) &\equiv \pm\rho\omega\nu\sqrt{\frac{\omega}{2\nu}} - \frac{\rho\omega u_0 \lambda\sqrt{\omega/(2\nu)}}{\lambda^2 + \lambda\sqrt{2\omega/\nu} + \omega/\nu} = 0. \end{aligned}$$

Из уравнения для $\operatorname{Im} \Delta(\pm i\omega)$ находим

$$u_0 = \pm(\lambda\nu + \sqrt{2\omega\nu} + \omega/\lambda). \quad (3.2)$$

Подставив (3.2) в условие $\operatorname{Re} \Delta(\pm i\omega) = 0$, получим

$$|\xi| = \rho\omega^2 / (K - m\omega^2 + \rho\omega\nu\lambda). \quad (3.3)$$

Таким образом, $|\xi(\omega)|$ не зависит от выбора знака u_0 и $-\omega$ соответствует отрицательным значениям скорости u_0 . Поскольку $u_0 \geq 0$, из (3.2) находим

$$\omega = \lambda u_0 - \lambda\sqrt{\lambda\nu(2u_0 - \lambda\nu)}. \quad (3.4)$$

Так как из соотношения (3.2) следует, что $u_0 > \nu\lambda$, то подкоренное выражение в (3.4) всегда положительно. Значит, выражение (3.4) определяет вещественные значения $\omega > 0$ и зависимость между $|\xi|$ и u_0 , определяемая соотношениями (3.3) и (3.4), задает нейтральную кривую устойчивости для уравнения (3.1), показанную на рис. 3 сплошной линией. Пунктирная кривая соответствует нейтральной кривой, полученной в результате численного решения уравнения (2.12) (в качестве параметра использовалось число Рейнольдса $R = u_0/(\lambda\nu)$). Заметим, что область неустойчивости находится ниже этих кривых. При

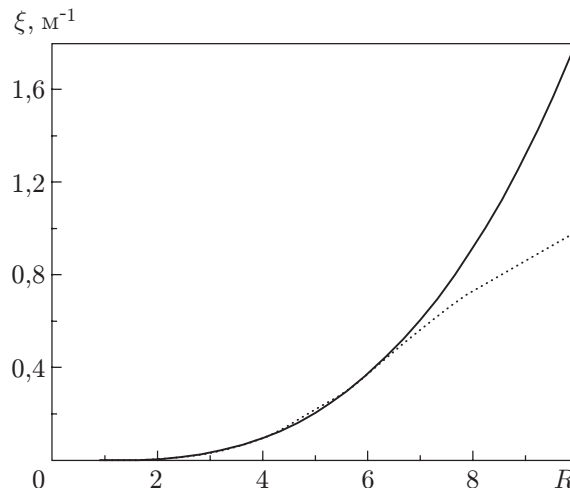


Рис. 3. Нейтральная кривая устойчивости для уравнения (2.12) (пунктирная линия) и ее асимптотическое приближение (сплошная линия)

малых ξ кривые практически совпадают, т. е. значения чисто мнимого корня приближения (3.1) совпадают со значениями корня s_2^* , найденными численно при соответствующих значениях параметров ξ и R . Второго чисто мнимого корня s_1^* при малых значениях R не существует, а при $R < 1$ не существует и чисто мнимого корня s_2^* , т. е. в этом случае система жидкость — балка устойчива для любых значений ξ .

Для того чтобы определить влияние вязкости жидкости ν на устойчивость системы, сравним полученные результаты с аналогичными результатами для случая невязкой жидкости. Поток идеальной жидкости над гибкой балкой хорошо изучен (см., например, [1, 6]).

Потенциал φ возмущения скорости идеальной жидкости $\mathbf{u} = \nabla\varphi$ является решением задачи

$$\Delta\varphi = 0, \quad \lim_{y \rightarrow \infty} \varphi = O(1), \quad \frac{\partial\varphi}{\partial y} \Big|_{y=0} = \dot{w} - u_0 w'; \quad (3.5)$$

$$m\ddot{w} + D(w'''' + \kappa\dot{w}''''') + Kw = -\rho(\dot{\varphi} - u_0\varphi') \Big|_{y=0}. \quad (3.6)$$

Предполагая наличие экспоненциального временного режима и выполняя преобразование Фурье (2.5) в системе (3.5), (3.6), находим образ потенциала φ

$$\tilde{\varphi}(\xi, y, s) = -\frac{s - i\xi u_0}{|\xi|} \tilde{w} e^{-|\xi|y}.$$

Подставив это решение в образ условия (3.6), получаем дисперсионное соотношение для невязкой жидкости

$$m|\xi|s^2 + D|\xi|^5(1 + \kappa s) + K|\xi| + \rho(s - i\xi u_0)^2 = 0. \quad (3.7)$$

Рассмотрим сначала случай $\kappa = 0$ (отсутствие вязкости балки). Решая квадратное уравнение (3.7) относительно s , получаем корни

$$s_{1,2} = \frac{i\xi u_0 \rho \pm \sqrt{m|\xi|^3 \rho u_0^2 - (m|\xi| + \rho)(D|\xi|^5 + K|\xi|)}}{m|\xi| + \rho}.$$

При $u_0 \leq u_f = \sqrt{(D|\xi|^4 + K)/(m|\xi|^2) + (D|\xi|^4 + K)/(\rho|\xi|)}$ оба корня чисто мнимые, а при $u_0 > u_f$ они, кроме того, равны. При $u_0 > u_f$ вещественная часть s_1 становится положительной, а s_2 — отрицательной, происходит флаттерная потеря устойчивости системы. Зависимости вещественных и мнимых частей корней уравнения (3.7) от скорости потока u_0 при отсутствии внутреннего трения κ представлены на рис. 4, а, б соответственно (сплошные линии). Таким образом, в случае отсутствия обеих вязкостей при любом значении волнового числа $\xi \neq 0$ имеется диапазон значений скорости, в котором в жидкости существует две волны с нейтральной устойчивостью.

Если вязкость балки $\kappa > 0$, то уравнение (3.7) имеет корни

$$s_{1,2} = \frac{2i\xi\rho u_0 - \kappa D|\xi|^5}{2(m|\xi| + \rho)} \pm \frac{\sqrt{(\kappa D|\xi|^5 - 2i\xi\rho u_0)^2 - (m|\xi| + \rho)(D|\xi|^5 + K|\xi| - \rho\xi^2 u_0^2)}}{2(m|\xi| + \rho)}. \quad (3.8)$$

Из уравнения (3.8) следует, что в случае малых κ (что соответствует реальным значениям внутренней вязкости) при $u_0 = 0$ дисперсионное уравнение имеет два комплексно-сопряженных корня с отрицательной вещественной частью. Это свидетельствует о наличии в жидкости двух затухающих волн, распространяющихся в противоположных направлениях. В этом смысле характер волн в стоячей воде аналогичен характеру волн для

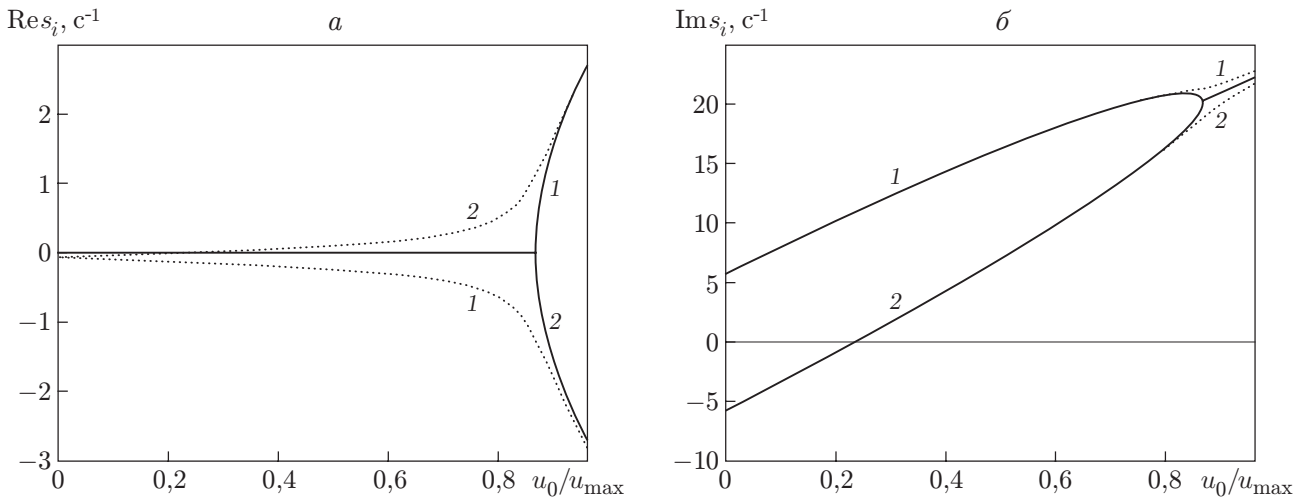


Рис. 4. Вещественные (а) и мнимые (б) части корней s_i дисперсионного уравнения (3.7) для случая невязкой жидкости:
 1 — волна, движущаяся по потоку; 2 — волна, движущаяся против потока; сплошные линии — $\nu = 0$; пунктирные — $\nu = 0,01$ с

случая вязкой жидкости. При увеличении скорости потока u_0 вещественная часть корня с отрицательной мнимой частью s_2 увеличивается и при $u_0 = u_d \equiv \sqrt{(D|\xi|^4 + K)/(\rho|\xi|)}$ становится равной нулю. При этом мнимая часть s_2 также становится равной нулю. При дальнейшем возрастании u_0 как $\text{Re } s_2$, так и $\text{Im } s_2$ становятся положительными. Значит, волна, распространяющаяся против потока, претерпевает дивергентную потерю устойчивости в точке $u_0 = u_d$. Волна же, распространяющаяся в направлении потока, остается устойчивой при всех значениях u_0 . Графики вещественных и мнимых частей корней s_1 и s_2 при $\nu = 0,01$ с приведены на рис. 4 (пунктирные линии).

Для того чтобы описать эффект демпфирования, приведем асимптотическое разложение вещественной части выражения (3.8) по степеням ν :

$$\text{Re}(s_{1,2}) \approx -\frac{\nu D|\xi|^5}{2(m|\xi| + \rho)} \left(1 \pm \frac{1}{\sqrt{A}} |\xi| \rho u_0\right) \quad \text{при } u_0 < u_f, \quad (3.9)$$

где $A = (m|\xi| + \rho)(D|\xi|^5 + K|\xi|) - m|\xi|^3 \rho u_0^2$. При рассматриваемых значениях ν это разложение достаточно точно совпадает с вещественной частью выражения (3.8), за исключением окрестности точки $u_0 = u_f$, где выражение A обращается в нуль (рис. 5).

Из (3.9) следует, что при малых скоростях u_0 величины $\text{Re}(s_{1,2})$ линейно зависят от ν . Произведение νu_0 указывает на стабилизацию волны по потоку при увеличении ν , хотя скорость $u_0 = u_d$, при которой волна, движущаяся против потока, а значит, и вся система теряют устойчивость, не зависит от ν . Кроме того, u_d всегда меньше u_f , и, следовательно, при наличии внутренней вязкости система в целом теряет устойчивость быстрее, чем без нее.

Результаты проведенных исследований позволяют сделать вывод, что для заданных параметров балки в случаях вязкой и невязкой жидкости внутренняя вязкость ν стабилизирует волну, движущуюся по потоку. Что касается волны, распространяющейся против потока, то ее стабилизация наблюдается только при малых скоростях. Внешняя вязкость ν дестабилизирует волну, распространяющуюся против потока: она быстро теряет устойчивость, в то же время нейтральная волна, движущаяся по потоку, становится затухающей,

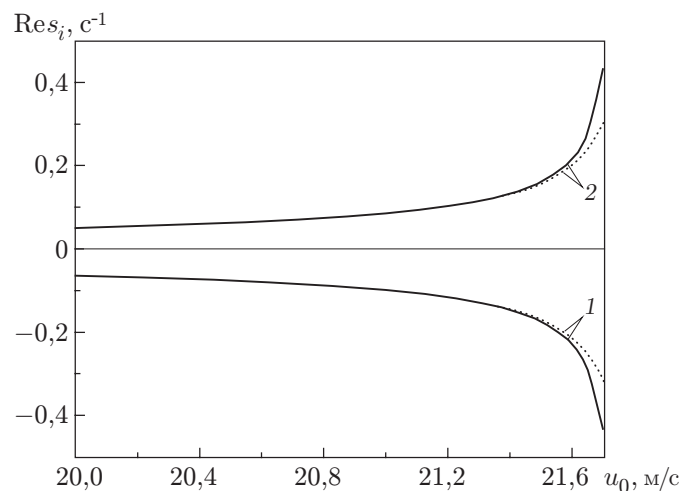


Рис. 5. Вещественные части корней (3.8) (пунктирные линии) и их асимптотические приближения (3.9) (сплошные линии):

1 — волна, движущаяся по потоку; 2 — волна, движущаяся против потока

но затем с увеличением скорости потока u_0 она все же теряет устойчивость. Таким образом, влияние вязкостных членов на волны вибрации приводит к существенному изменению характера течения.

ЛИТЕРАТУРА

1. **Benjamin T. B.** The threefold classification of unstable disturbances in flexible surfaces bounding inviscid flows // *J. Fluid Mech.* 1963. V. 16, pt 3. P. 436–450.
2. **Landahl M. T.** On the stability of a laminar incompressible boundary layer over a flexible surface // *J. Fluid Mech.* 1962. V. 13, pt 4. P. 609–632.
3. **Carpenter P. W., Garrad A. D.** The hydrodynamic stability of flow over Kramer-type compliant surfaces. 1. Tollmien — Schlichting instabilities // *J. Fluid Mech.* 1985. V. 155. P. 465–510.
4. **Riley J. J., Gad-el-Hak M., Metcalfe R. W.** Compliant coatings // *Annu. Rev. Fluid Mech.* 1988. V. 20. P. 393–420.
5. **Reid W. H.** The stability of parallel flows // *Basic developments in fluid dynamics* / Ed. by M. Holt. N. Y.: Acad. Press, 1965. V. 1. P. 249–307.
6. **Болотин В. В.** Неконсервативные задачи теории упругой устойчивости. М.: Физматгиз, 1961.
7. **Schlichting H.** *Boundary layer theory*. N. Y.: McGraw Hill, 1960.
8. **Denisova I. V., Indeytsev D. A., Klimenko A. V.** Stability of an infinite flexible beam under a viscous fluid flow with an exponential profile // *Proc. of the Intern. sem. "Day on Diffraction'2004"*, St-Petersburg, 29 June — 2 July 2004. St-Petersburg: St-Petersburg Univ. Publ., 2004. P. 58–67.

Поступила в редакцию 13/IV 2005 г.,
в окончательном варианте — 27/IX 2005 г.